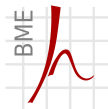


Vezérlésfolyam gráf és X86 utasításkészlet

Kód visszafejtés.



Híradástechnikai Tanszék

Izsó Tamás

2016. november 3.

Intervallum algoritmus

Procedure Intervals($G=(N, E, h)$)

$\mathfrak{S} := \{\}$

$H := \{h\}$

for($\forall n$ nem bejárt pontra $n \in H$) do

$I(n) := \{n\}$

repeat

$I(n) := I(n) + \{m \in N \text{ ahol } \forall p \in \text{Pred}(m) \text{ pontra teljesül } p \in I(n)\}$

until nincs több csomópont, ami hozzáadható $I(n)$ – hez

$H := H + \{m \in N \mid m \notin H \wedge m \notin I(n) \wedge (\exists p \in \text{Pred}(m) \text{ amelyre teljesül hogy } p \in I(n))\}$

$\mathfrak{S} = \mathfrak{S} + I(n)$

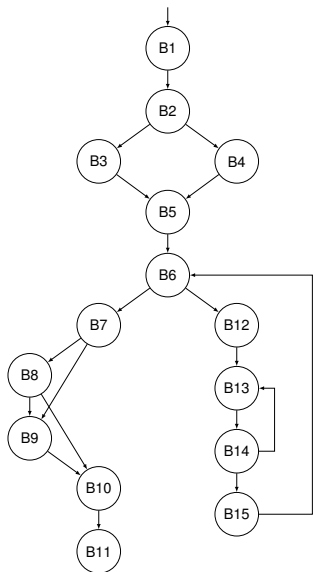
end for

end procedure

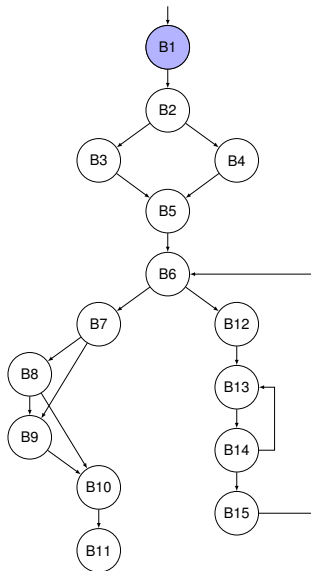
Megjegyzés az intervallum algoritmushoz

- Az eljárás egy vezérlésfolyam gráfot $G = \{N, E\}$ és egy kezdőpontot h kap, és az intervallumok halmazát \mathfrak{S} adja vissza.
- Azokat a csomópontokat tesszük egy intervallumba, akikbe olyan helyről mutat él, amelyeket már felvettünk az aktuális intervallumba (belső repeat ciklus).
- Azok a pontok, amelyekre az intervallumban lévő csomópontokból mutat él, egy következő intervallum kezdőpontját képezik, és ezek a H (head) halmazba kerülnek.

Intervallum analízis szemléltetése

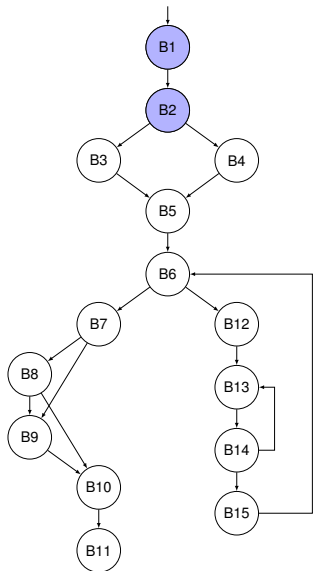


Intervallum analízis szemléltetése



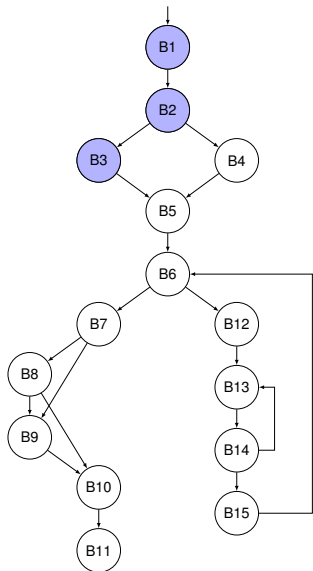
$$H_1 = \{B1\} \quad I_1 = \{B1\}$$

Intervallum analízis szemléltetése



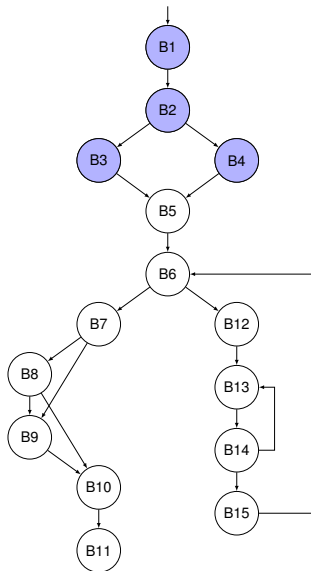
$$H_1 = \{B1\} \quad I_1 = \{B1, B2\}$$

Intervallum analízis szemléltetése



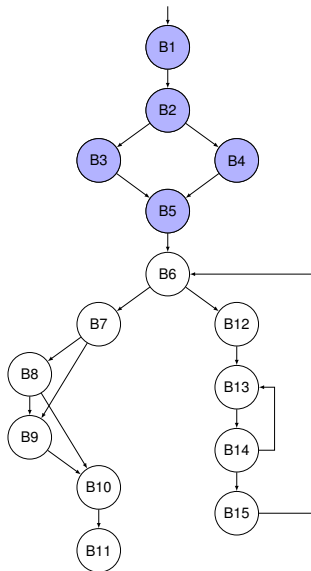
$$H_1 = \{B1\} \quad I_1 = \{B1, B2, B3\}$$

Intervallum analízis szemléltetése



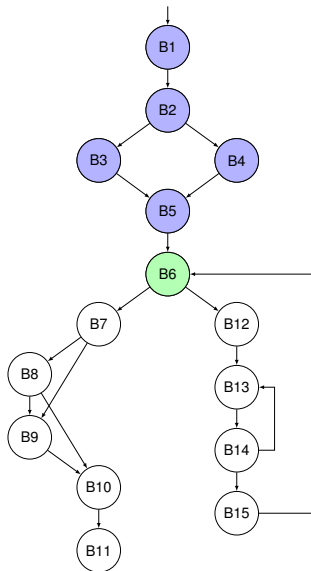
$$H_1 = \{B1\} \quad I_1 = \{B1, B2, B3, B4\}$$

Intervallum analízis szemléltetése



$$H_1 = \{B1\} \quad I_1 = \{B1, B2, B3, B4, B5\}$$

Intervallum analízis szemléltetése

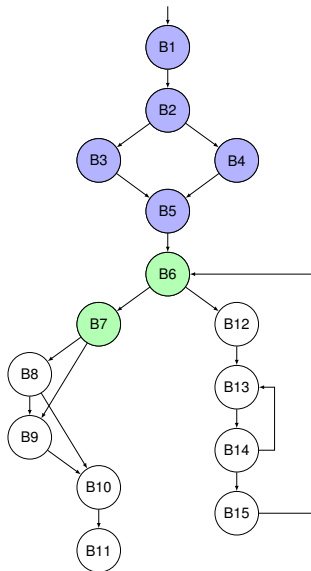


$$H_1 = \{B1\} \quad I_1 = \{B1, B2, B3, B4, B5\}$$

$$H_2 = \{B6\} \quad I_2 = \{B6\}$$

B15 pont nincs az I_1 halmazban
ezért új intervallumot kell létrehozni!

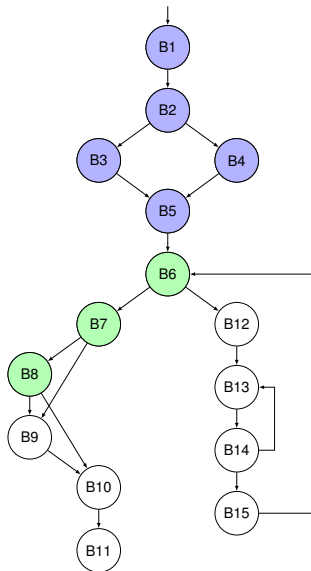
Intervallum analízis szemléltetése



$$H_1 = \{B1\} \quad I_1 = \{B1, B2, B3, B4, B5\}$$

$$H_2 = \{B6\} \quad I_2 = \{B6, B7\}$$

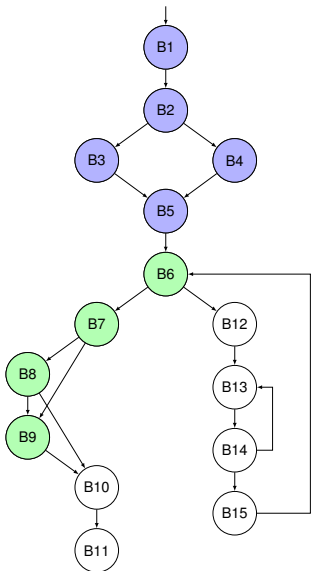
Intervallum analízis szemléltetése



$$H_1 = \{B1\} \quad I_1 = \{B1, B2, B3, B4, B5\}$$

$$H_2 = \{B6\} \quad I_2 = \{B6, B7, B8\}$$

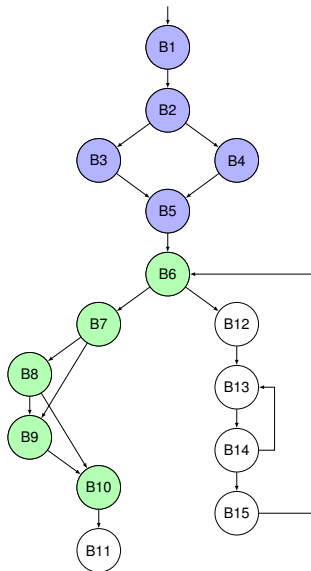
Intervallum analízis szemléltetése



$$H_1 = \{B1\} \quad I_1 = \{B1, B2, B3, B4, B5\}$$

$$H_2 = \{B6\} \quad I_2 = \{B6, B7, B8, B9\}$$

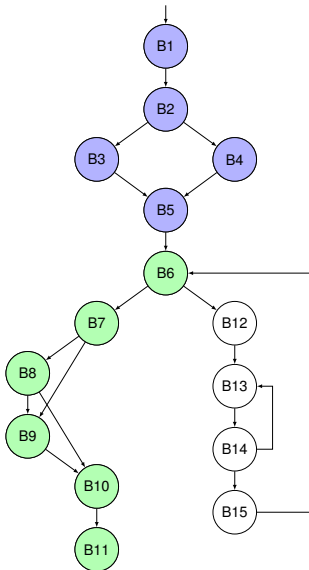
Intervallum analízis szemléltetése



$$H_1 = \{B1\} \quad I_1 = \{B1, B2, B3, B4, B5\}$$

$$H_2 = \{B6\} \quad I_2 = \{B6, B7, B8, B9, B10\}$$

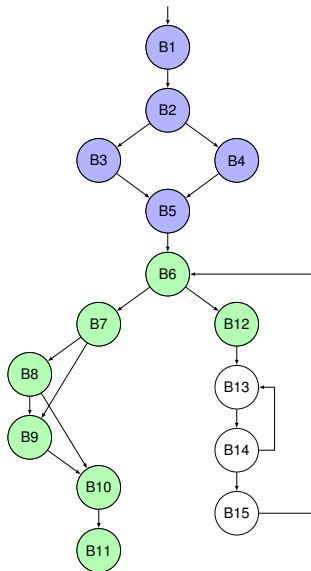
Intervallum analízis szemléltetése



$$H_1 = \{B1\} \quad I_1 = \{B1, B2, B3, B4, B5\}$$

$$H_2 = \{B6\} \quad I_2 = \{B6, B7, B8, B9, B10, B11\}$$

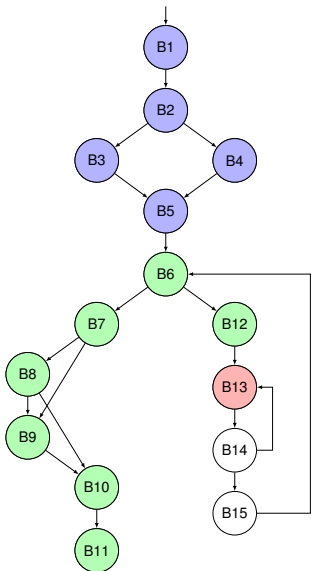
Intervallum analízis szemléltetése



$$H_1 = \{B1\} \quad I_1 = \{B1, B2, B3, B4, B5\}$$

$$H_2 = \{B6\} \quad I_2 = \{B6, B7, B8, B9, B10, B11, B12\}$$

Intervallum analízis szemléltetése



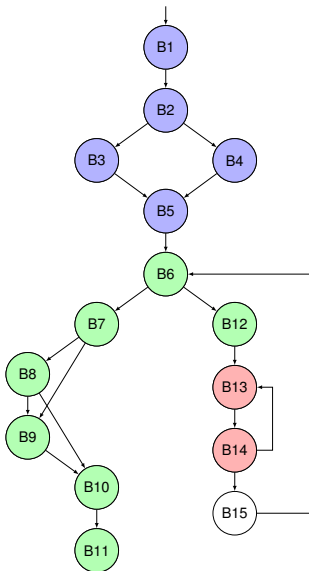
$$H_1 = \{B1\} \quad I_1 = \{B1, B2, B3, B4, B5\}$$

$$H_2 = \{B6\} \quad I_2 = \{B6, B7, B8, B9, B10, B11, B12\}$$

$$H_3 = \{B6\} \quad I_3 = \{B13\}$$

B14 pont nincs az I_2 -es halmazban
ezért új intervallumot kell létrehozni!

Intervallum analízis szemléltetése

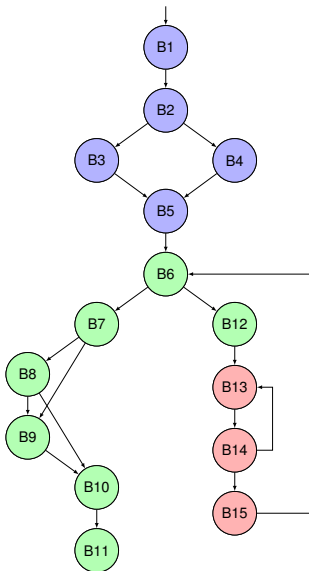


$$H_1 = \{B1\} \quad I_1 = \{B1, B2, B3, B4, B5\}$$

$$H_2 = \{B6\} \quad I_2 = \{B6, B7, B8, B9, B10, B11, B12\}$$

$$H_3 = \{B6\} \quad I_3 = \{B13, B14\}$$

Intervallum analízis szemléltetése



$$H_1 = \{B1\} \quad I_1 = \{B1, B2, B3, B4, B5\}$$

$$H_2 = \{B6\} \quad I_2 = \{B6, B7, B8, B9, B10, B11, B12\}$$

$$H_3 = \{B6\} \quad I_3 = \{B13, B14, B15\}$$

Improper struktúrák kezelése

Fubo Zhang és Erik H. D'Hollander bebizonyították, hogy az általuk definiált három elemi programtranszformációs lépés

- Forward Copy,
- Backward Copy,
- Cut

segítségével minden nem strukturált programrész strukturált formává alakítható. Módszerüket magasszintű blokk strukturált programozási nyelvre alkalmazták.

Haicheng Wu és társai kisebb átalakításokkal a módszert assembly szintű programra is alkalmazhatóvá tették.

Cikkek:

Fubo Zhang and Erik H. D'Hollander. Using hammock graphs to structure programs. IEEE Trans. Software Eng., 30(4):231-245, 2004.

Haicheng Wu, Gregory Damos, Jin Wang, Si Li, and Sudhakar Yalamanchili. Characterization and transformation of unstructured control flow in bulk synchronous gpu applications. Int. J. High Perform. Comput. Appl., 26(2):170-185, May 2012.

Forward Copy

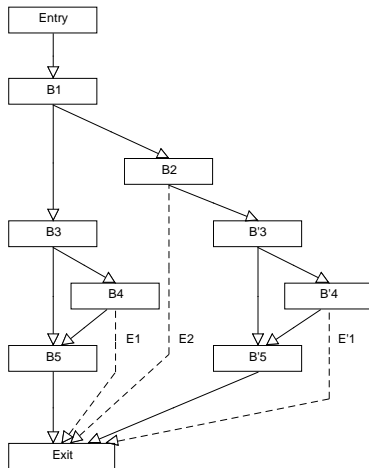
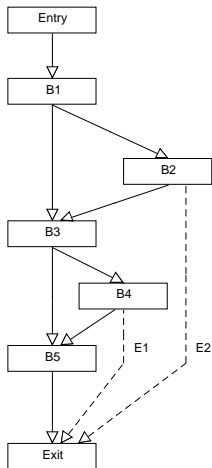
A következő ábrán a $\{B1, B2\}$ és a $\{B3, B4\}$ blokkok IfThen szerkezetet alkotnának, ha az $E1$ és $E2$ szaggatott élek nem szerepelnének.

Forward Copy transzformáció:

- 1** *Forward copy* transzformáció során az IfThen szerkezetet alkotó $\{B1, B2\}$ részgráf közös pontja $B3$ és az $E2$ él között található gráfot le kell másolni.
- 2** A $(B2, B3)$ él végpontját a megismételt struktúra $B'3$ pontjára állítani.

Az így kapott jobb oldali ábra $\{B3, B4\}$ szerkezetére a forward copy transzformációt megismételve a gráf reducibilissé válik.

Forward Copy transzformáció



Backward Copy

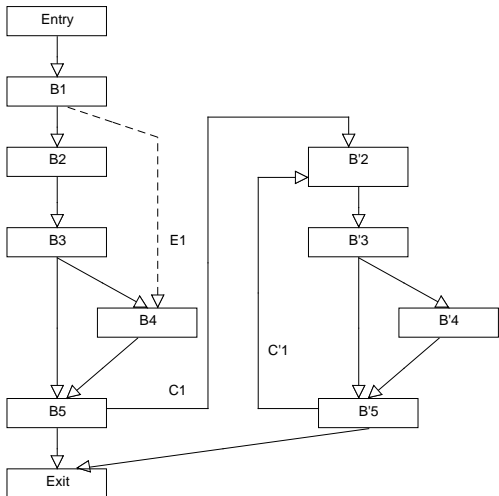
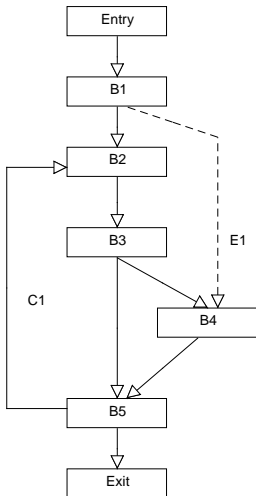
A következő ábrán található ciklus improper, mivel a belsejébe a $B1$ blokkokból az $E1$ élen keresztül be tudunk ugrani.

Backward Copy transzformáció:

- 1 A ciklust alkotó blokkokat meg kell ismételni (backward copy). Ezzel megszüntethetjük a ciklus belsejébe történő ugrást.
- 2 A $C1$ élet a megismételt ciklusra kell állítani.

A struktúra továbbra is irreducibilis maradt, mivel a $\{B1, B2, B3\}$ IfThen szerkezetnek két kilépési pontja van, de ezt már az előbb ismertetett forward copy transzformációval megszüntethetjük.

Backward Copy transzformáció

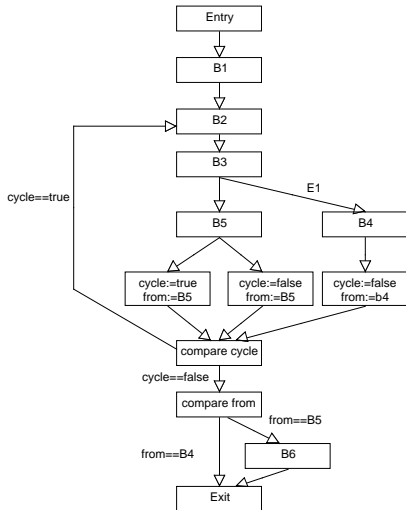
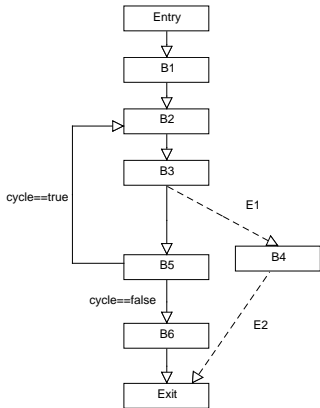


Cut

A következő ábrán a ciklus belsejéből az $E1$ és az $E2$ éleken keresztül is kiléphetünk, tehát ciklust több kilépési ponttal is rendelkezik.

- 1 Ciklus végét és a kilépés okát tartalmazó változók bevezetése.
- 2 "*compare cycle*" blokk bevezetése. A ciklus szervezését erre kell építeni.
- 3 "*compare from*" blokk bevezetése. Kilépés okának megfelelő folytatás elkészítése.

Cut transzformáció



Gondolatok a strukturált programozásról

- improper — keresztél — irreducibilis — nem strukturált
- Dahl – Dijkstra – Hoare , Strukturált programozás 7. fejezet, A programok megértéséről
- www.hit.bme.hu/~izso/struct_prog.pdf
- Donald E. Knuth, Stuctured Programming with goto Statements
- Linux: Using goto In Kernel Code
- C-ben a break, continue valóban megsérti a strukturált programozás elvét, avagy irreducibilis lesz a CFG (vezérlésfolyan gráf) ?

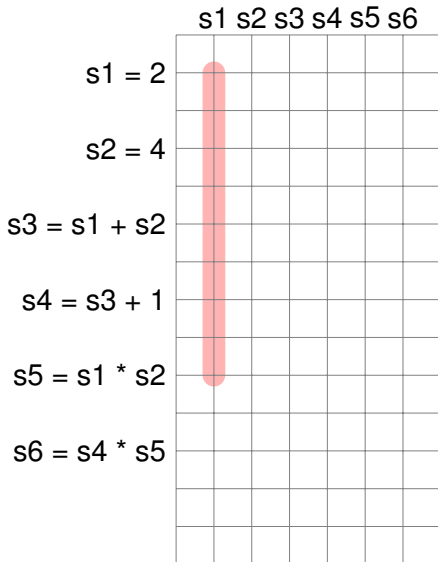
Regiszter hozzárendelés

- Intel x86 processzor utasításkészlete kevés regisztert tartalmaz;
- néhány regiszter használata korlátozott;
- a gyors futás érdekében az adatokat érdemes a regiszterben tartani;
- ha nincs elég regiszter, ki kell menteni a memóriába;
- minimalizálni kell az egyidejűleg használt regiszterek számát;
- általában színezési problémára vezethető vissza.

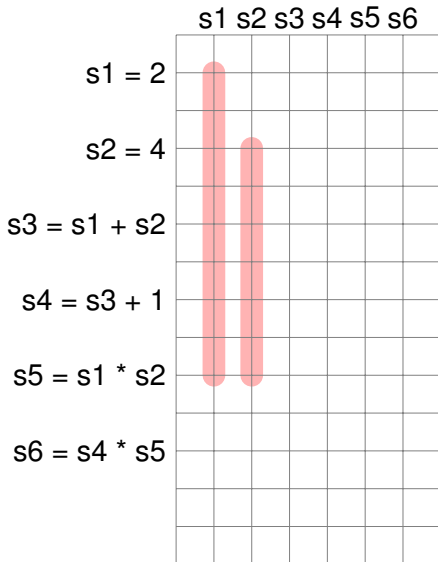
Regiszter hozzárendelés

	s1	s2	s3	s4	s5	s6
s1 = 2						
s2 = 4						
s3 = s1 + s2						
s4 = s3 + 1						
s5 = s1 * s2						
s6 = s4 * s5						

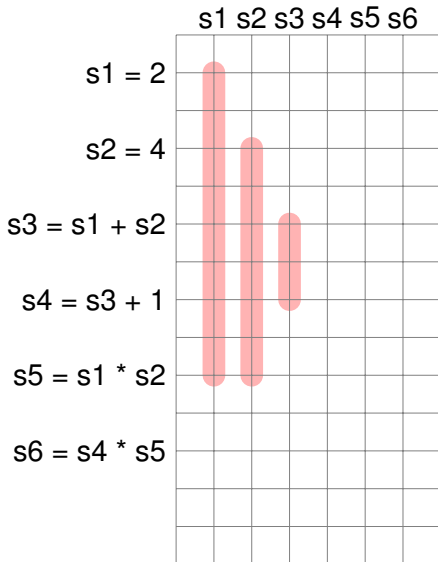
Regiszter hozzárendelés



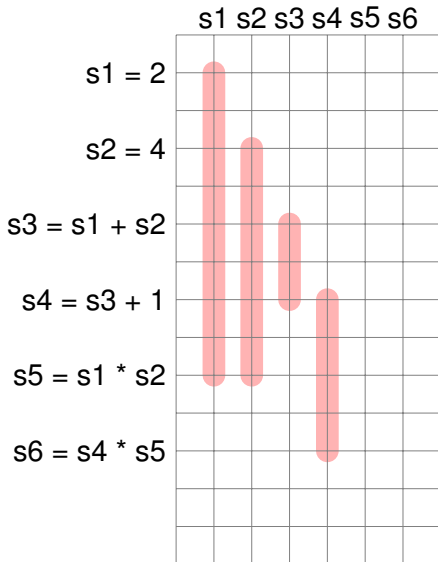
Regiszter hozzárendelés



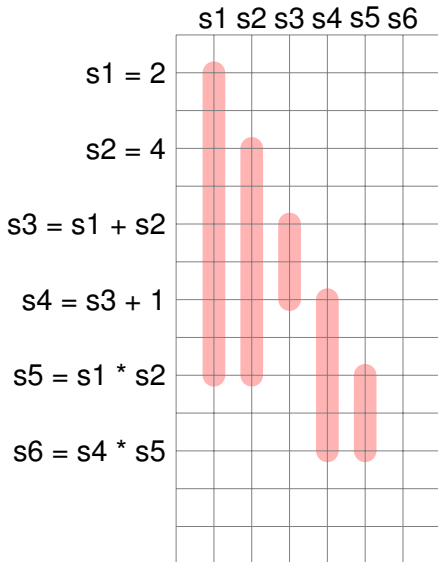
Regiszter hozzárendelés



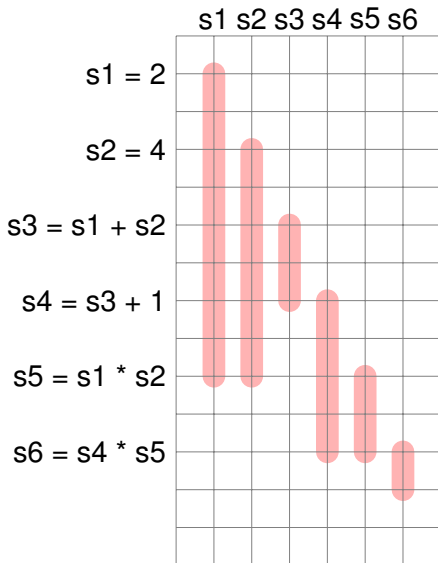
Regiszter hozzárendelés



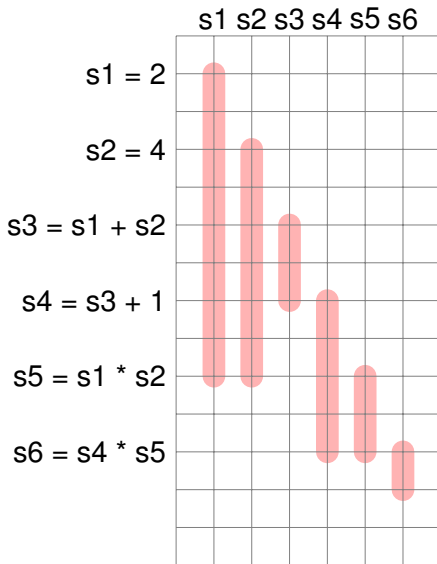
Regiszter hozzárendelés



Regiszter hozzárendelés



Regiszter hozzárendelés



s1

s3

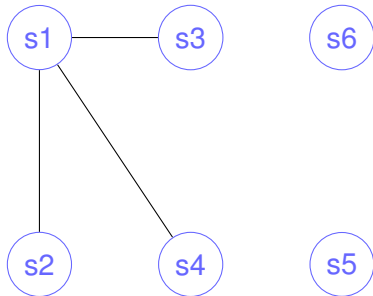
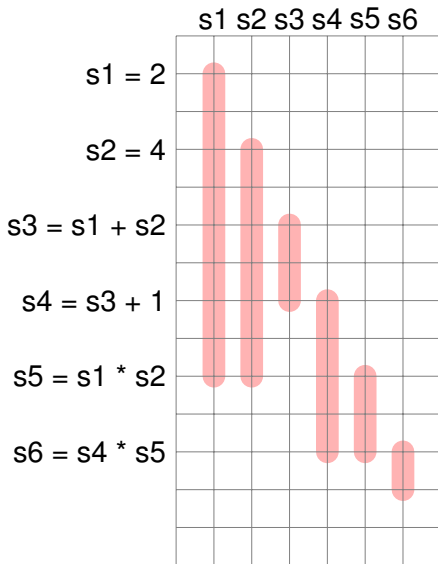
s6

s2

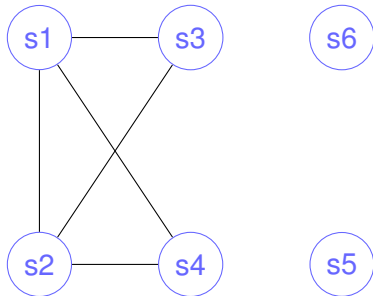
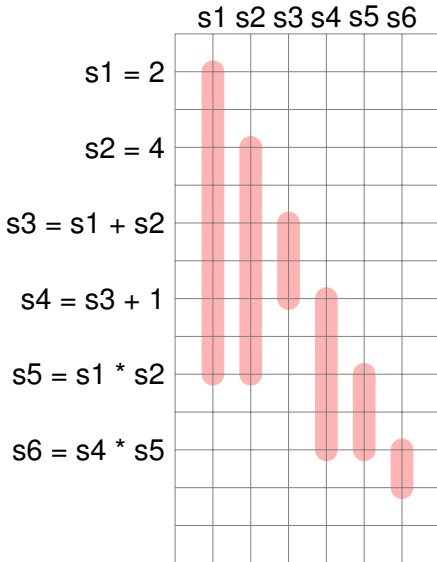
s4

s5

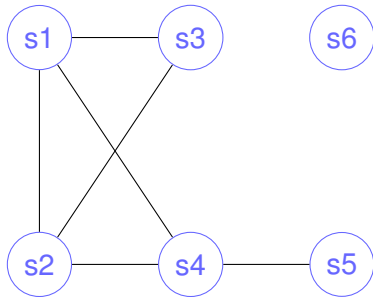
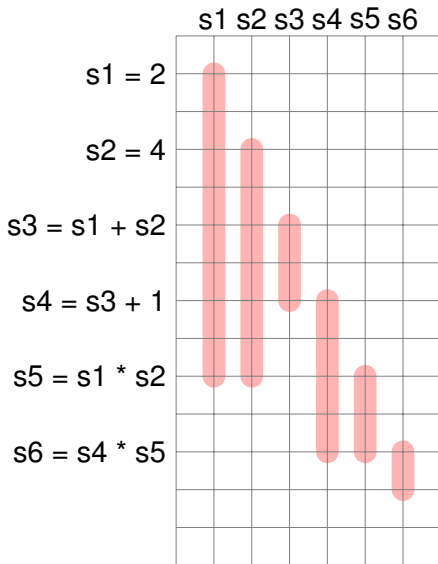
Regiszter hozzárendelés



Regiszter hozzárendelés



Regiszter hozzárendelés



Egyéb optimalizálási eljárások

- aritmetikai egyszerűsítés: $x = 4 * a; \rightarrow x = a \ll 2;$
- konstans kifejezés kiértékelése: $4 * 1024 \rightarrow 4096$

Optimalizált kód visszafejthetősége

- megjegyzések elvesznek;
- szimbólikus nevek elvesznek;
- adattípusok elvesznek;
- ciklus átrendezés, és kifejtés (unrolling);
- különböző lokális változók azonos regiszterekben cserélik egymást ;
- algebrai átírás;
- kódmozgás;

Section 1

Intel mikroprocesszor története

Intel mikroprocesszor család

- 1978-ban dobták piacra a 8086, 8088, 80186 processzorokat;
- 16-bites regiszterek;
- szegmens-offset címzés;
- szegmens regiszter állítás nélkül 64Kbyte címezhető;
- négyvel eltolt szegmensregiszter + a 16 bit offset 20 bites címet alkot;
- 8087 lebegőpontos koprocesszor.

Intel 286 mikroprocesszor

- 1982-ben vezették be;
- protected mód;
- 24-bit címsín;
- 16Mbyte memória címezhető.

Intel 386 mikroprocesszor

- 1985-ben vezették be;
- 32 bites regiszterek;
- 32 bites cím, 4 GByte címezhető;
- lapozást támogatja;
- szegmens kezelés kikerülhető, flat memóriamodell;
- linux futtatható rajta.

Intel 486 mikroprocesszor

- 1989-ben vezették be;
- DX verzióba beintegrálták a lebegőpontos koprocesszort;
- gyorsítótár (cache) alkalmazása;
- pipeline utasítás feldolgozás;

Intel Pentium mikroprocesszor

- 1993-ben vezették be;
- gyorsítótár méretét megduplázták, felét a kód felét az adatok számára használták;
- két pipeline utasításfeldolgozó egység;
- feltételes ugrásokra elágazásbecslést alkalmaztak
- két processzoros mód támogatása
- MMX utasításkészlet

Intel Pentium mikroprocesszor

- 1995-1999 között jelent meg a Pentium 6, gyártástechnológia fejlődik, gyorsabb az elődöknél;
- 2000-2006 NetBurst mikroarchitectura, SSE3 utasítások;
- 2003 Pentium-M kis fogyasztás;
- 2004 64 bites processzor 40 bites fizikai cím 1 Tbyte címezhető, 8-ról 16-ra növelték az általános célú regiszterek számát;
- 2005-2007 két mag, 64 bit ;
- stb.

Section 2

Utasításkészlet

Utasításkészlet tervezésének szempontjai

- technológiából adódó kötöttségek (tranzisztorok száma);
- chipék költsége;
- fogyasztás;
- utasításkészlet bővíthetősége;
- előző sorozat kompatibilitásának a felvállalása;
- új utasítások és működési elvek oktatása.

RISC vs CISC

- CISC Complex Instruction Set Computing
 - utasítások hossza változik;
 - művelet végzés regiszterek és memória között;
 - kevés számú regiszter.
- RISC (Reduced Instruction Set Computing)
 - utasítások hossza azonos;
 - műveletek végzés csak regiszterek között;
 - sok regiszter.

Intel 80x86 processzor

- Utasításkészlete CISC tulajdonságot mutat.
- Belül a CISC utasításokat egyszerű mikróműveletekre bontja (μ Op) és párhuzamosan képes ezeket végrehajtani. (pl. Sandy Bridge Pipeline architektúra).

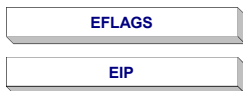
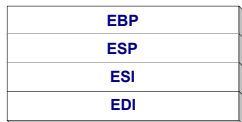
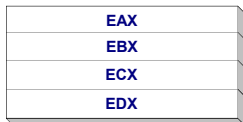
Section 3

Intel X86 utasításkészlet

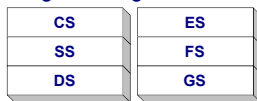
X86 regiszterek

- 8 darab 32 bites regiszter;
- 6 darab szegmens regiszter;
- statusz regiszter EFLAGS
- utasításszámláló EIP

32 bites általános célú regiszterek



szegmens regiszterek



Regiszterek speciális szerepe egyes utasításokban

Speciális de nem kizárólagos felhasználása a regisztereknek.

EAX akkumulátor regiszter, szorzáshoz osztáshoz;

ECX counter regiszter (ciklusszámlálásra);

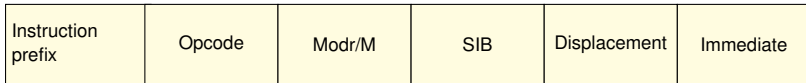
ESP stack pointer;

ESI string műveletek esetén a forrás memóriaterületet indexeli;

EDI string műveletek esetén a cél memóriaterületet indexeli;

EBP bázis pointer a stack kezeléshez.

x86 utasítás formátum



Opcionálisan adható 4 csoportba sorolható prefix

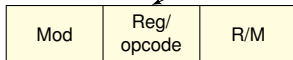
Műveleti kód
1-,2-,3 byte

1 byte, ha szükséges

1 byte, ha szükséges

Displacement (eltolás) 1-,2-,4 byte

Immediate (közvetlen) adat 1-,2-,4 byte



Utasítás prefix

1 csoport lock vagy repeat prefix

- F0H LOCK prefix multiprocesszoros környezetben az osztott memóriához kizárólagos hozzáférést biztosít.
- F2H REPNE/REPNEZ prefix, amely string vagy input/output utasításokhoz lehet használni.
- F3H REP vagy REPE/REPZ prefix, amely string vagy input/output utasításokhoz lehet használni.

2 operandusok méretének az átdefiniálása

- csoport 66H operandus méretének megváltoztatása, azaz a 16 és 32 bites operandusok között választhatunk.
- csoport 67H cím méretének a megváltoztatása.

Utasítás prefix

- 3 szegmens módosítás, amely ugró utasításokra nem érvényes
 - 2EH CS
 - 36H SS
 - 3EH DS
 - 26H ES
 - 64H FS
 - 65H GS

- 4 elágazásbecslés feltételes vezérlésátadó utasításokhoz
 - 2EH valószínűleg az ugrás nem fog végrehajtódni;
 - 3EH valószínűleg az ugrás be fog következni.